

论文详细过程

郑智润

湘潭大学数学与计算科学学院, 湘潭, 411100

1 线性有限元方法的误差估计

1.1 模型问题及其变分形式

令 Ω 是有Lipschitz边界 $\partial\Omega$ 的有界域,考虑模型问题为椭圆型偏微分方程:

$$\begin{cases} -\nabla \cdot (a \nabla u) = f & \text{in } \Omega, \\ u = 0 & \text{on } \partial\Omega, \end{cases} \quad (1.1)$$

其中 $f \in L^2(\Omega)$, $a \in C^1(\Omega)$ 且 $a(x) \geq \tilde{a} > 0$.

引入soblve空间:

$$H_0^1(G) = \{u | u \in L^2(G), u' \in L^2(G), v|_{\partial n=0}\},$$
$$L^2(G) = \left\{ u \mid \int_{\Omega} u^2 dX < c \right\}.$$

取 $v \in H_0^1$,对方程(1.1)式使用虚功原理可得:

$$\int_{\Omega} -\nabla \cdot (a \nabla u) v dX = \int_{\Omega} f v dX,$$

由Green公式可以得出:

$$\int_{\Omega} -\nabla \cdot (a \nabla u) v dX = \int_{\Omega} a(x) \nabla u \cdot \nabla v dX - \int_{\partial\Omega} (a(x) \nabla u) \vec{n} v dX,$$

由 $v \in H_0^1$ 则知

$$\int_{\partial\Omega} (a(x) \nabla u) \vec{n} v dX = 0,$$

代入到上式得出:

$$\int_{\Omega} -\nabla \cdot (a \nabla u) v dX = \int_{\Omega} a(x) \nabla u \cdot \nabla v dX,$$

即有:

$$\int_{\Omega} a(x) \nabla u \cdot \nabla v dX = \int_{\Omega} f v dX.$$

得出问题(1.1)的弱形式为: 找到 $u \in H_0^1$ 使得:

$$B(u, v) = L(v) \quad \forall v \in H_0^1, \quad (1.2)$$

其中

$$B(u, v) = \int_{\Omega} a(x) \nabla u \cdot \nabla v dX, L(v) = \int_{\Omega} f v dX.$$

有限元离散格式: 求 $u_h \in V_h$ 使得:

$$B(u_h, v_h) = L(v_h) \quad \forall v_h \in V_h. \quad (1.3)$$

相关作者:

E-mail:jiangxizhengzhirun@163.com (郑智润)

1.2 显式 H^1 型的误差估计子

符号说明:

T : 三角单元,

\mathcal{T} : 对区域 Ω 三角剖分得到的集合,

$$\begin{aligned}
 B(e_h, v) &= B(u - u_h, v) = \int_{\Omega} a \nabla(u - u_h) \cdot \nabla v dX \\
 &= \int_{\Omega} a \nabla u \cdot \nabla v dX - \int_{\Omega} a \nabla u_h \cdot \nabla v dX \\
 &= \int_{\Omega} f v dX - \int_{\Omega} (a \nabla u_h) \cdot \nabla v dX \\
 &= \sum_{T \in \mathcal{T}} \left\{ \int_T f v dX - \int_T (a \nabla u_h) \cdot \nabla v \right\} dX \\
 &= \sum_{T \in \mathcal{T}} \left\{ \int_T f v dX + \int_T \nabla \cdot (a \nabla u_h) v dX - \int_{\partial T} (a \nabla u_h) v \cdot \vec{n}_T dX \right\} \\
 &= \sum_{T \in \mathcal{T}} \left\{ \int_T (f + \nabla \cdot (a \nabla u_h)) v dX - \int_{\partial T} (a \nabla u_h) v \cdot \vec{n}_T dX \right\}, \tag{1.4}
 \end{aligned}$$

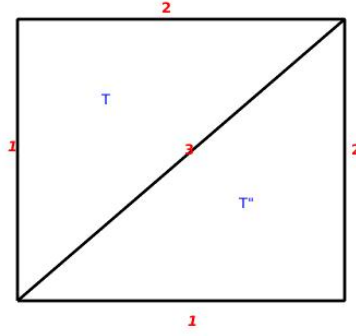


Figure 1: 剖分为两个单元

我们以上图的剖分为例来对(1.4)式进行化简:

$$\begin{aligned}
 & - \sum_{T \in \mathcal{T}} \int_{\partial T} (a \nabla u_h) v \cdot \vec{n}_T dX \\
 &= - \int_{\partial T} (a \nabla u_h) v \cdot \vec{n}_T dX - \int_{\partial T''} (a \nabla u_h) v \cdot \vec{n}_{T''} dX \\
 &= - \int_{e_1^T} (a \nabla u) v \cdot \vec{n}_{T,1} dX - \int_{e_2^T} (a \nabla u) v \cdot \vec{n}_{T,2} dX \\
 &= - \int_{e_3^T} (a \nabla u) v \cdot \vec{n}_{T,3} dX - \int_{e_1^{T''}} (a \nabla u) v \cdot \vec{n}_{T'',1} dX \\
 &= - \int_{e_2^{T''}} (a \nabla u) v \cdot \vec{n}_{T'',2} dX - \int_{e_3^{T''}} (a \nabla u) v \cdot \vec{n}_{T'',3} dX \\
 &= - \int_{\gamma} \{ (a \nabla u_h)|_T \cdot \vec{n}_{T,3} + (a \nabla u_h)|_{T''} \cdot \vec{n}_{T'',3} \} v dX \\
 &= - \int_{\gamma} [(a \nabla u_h) \cdot \vec{n}_{\gamma}] v dX, \tag{1.5}
 \end{aligned}$$

其中记:

$$[(a\nabla u_h) \cdot \vec{n}_\gamma] = (a\nabla u_h)|_T \cdot n_{T,3} + (a\nabla u_h)|_{T''} \cdot n_{T'',3},$$

把(1.5)式推广到多单元的情况下然后代入到(1.4)式则有:

$$\begin{aligned} B(e_h, v) &= \sum_{T \in \mathcal{T}} \left\{ \int_T (f + \nabla \cdot (a\nabla u_h)) v dX - \int_{\partial T} (a\nabla u_h) v \cdot \vec{n}_T dX \right\} \\ &= \sum_{T \in \mathcal{T}} \int_T (f + \nabla \cdot (a\nabla u_h)) v dX - \sum_{\gamma \in \mathcal{E}_I} \int_\gamma [(a\nabla u_h) \cdot \vec{n}_\gamma] v dX \\ &= \sum_{T \in \mathcal{T}} \int_T r v dX + \sum_{\gamma \in \mathcal{E}_I} \int_\gamma R v dX, \end{aligned} \quad (1.6)$$

其中: \mathcal{E}_I 为内部边的集合,

$$r = f + \nabla \cdot (a\nabla u_h), R = -[(a\nabla u_h) \cdot \vec{n}_\gamma].$$

对于给定的 $v \in H_0^1$, 令 $I_h v$ 是 v 在 V_h 上的插值, 由正交性 $B(e_h, I_h v) = 0$ 则知:

$$\begin{aligned} B(e_h, v) &= B(e_h, v - I_h v) \\ &= \sum_{T \in \mathcal{T}} \int_T r(v - I_h v) dX + \sum_{\gamma \in \mathcal{E}_I} \int_\gamma R(v - I_h v) dX, \end{aligned} \quad (1.7)$$

令 $v = e_h$ 则有:

$$\begin{aligned} B(e_h, e_h) &= B(e_h, v - I_h e_h) \\ &= \sum_{T \in \mathcal{T}} \int_T r(e_h - I_h e_h) dX + \sum_{\gamma \in \mathcal{E}_I} \int_\gamma R(e_h - I_h e_h) dX \\ &\leq \sum_{T \in \mathcal{T}} \|r\|_{L^2(T)} \cdot \|e_h - I_h e_h\|_{L^2(T)} + \sum_{\gamma \in \mathcal{E}_I} \|R\|_{L^2(\gamma)} \cdot \|e_h - I_h e_h\|_{L^2(\gamma)}. \end{aligned} \quad (1.8)$$

Theorem 1.1. 若剖分是拟一致的, 函数 $u \in W^{m+1,p}(\Omega)$, $1 \leq p \leq \infty$ 则 u 的 m 次插值 $I_m u$ 在单元 e 上有误差估计:

$$\|u - I_m u\|_{l,p,\Omega} \leq ch^{m+1-l} \|u\|_{m+1,p,\Omega}, l = 0, 1, 1 \leq p \leq \infty.$$

利用定理1.1则可以得出:

$$\|e_h - I_h e_h\|_{L^2(T)} \leq ch_T \|e_h\|_{H^1(T)}, \quad (1.9)$$

由

$$\|e_h - I_h e_h\|_{L^2(\gamma)} \leq c \|e_h - I_h e_h\|_{H^{1/2}(T)},$$

因:

$$\|e_h - I_h e_h\|_{H^{1/2}(T)} \leq c\sqrt{h} \|e_h\|_{H^1(T)},$$

则:

$$\|e_h - I_h e_h\|_{L^2(\gamma)} \leq c\sqrt{h} \|e_h\|_{H^1(T)}. \quad (1.10)$$

把(1.9)(1.10)式代入到(1.8)式则有:

$$\begin{aligned}
& B(e_h, e_h) \\
& \leq \sum_{T \in \mathcal{T}} \|r\|_{L^2(T)} \cdot \|e_h - I_h e_h\|_{L^2(T)} + \sum_{\gamma \in \mathcal{E}_I} \|R\|_{L^2(\gamma)} \cdot \|e_h - I_h e_h\|_{L^2(\gamma)} \\
& \leq \sum_{T \in \mathcal{T}} \|r\|_{L^2(T)} \cdot c h_T \|e_h\|_{H^1(T)} + \sum_{\gamma \in \mathcal{E}_I} \|R\|_{L^2(\gamma)} \cdot c \sqrt{h_T} \|e_h\|_{H^1(T)} \\
& \leq c \left[\left(\sum_{T \in \mathcal{T}} \|r\|_{L^2(T)}^2 h_T^2 \right) \cdot \left(\sum_{T \in \mathcal{T}} \|e_h\|_{H^1(T)}^2 \right) \right]^{1/2} \\
& \quad + c \left[\left(\sum_{\gamma \in \mathcal{E}_I} \|R\|_{L^2(\gamma)}^2 h_T \right) \cdot \left(\sum_{\gamma \in \mathcal{E}_I} \|e_h\|_{H^1(T)}^2 \right) \right]^{1/2} \\
& \leq c \left(\sum_{T \in \mathcal{T}} \|e_h\|_{H^1(T)}^2 \right)^{1/2} \left[\left(\sum_{T \in \mathcal{T}} \|r\|_{L^2(T)}^2 h_T^2 \right)^{1/2} + \left(\sum_{\gamma \in \mathcal{E}_I} \|R\|_{L^2(\gamma)}^2 h_T \right)^{1/2} \right] \\
& = c \left(\|e_h\|_{H^1(\Omega)}^2 \right)^{1/2} \left[\left(\sum_{T \in \mathcal{T}} \|r\|_{L^2(T)}^2 h_T^2 \right)^{1/2} + \left(\sum_{\gamma \in \mathcal{E}_I} \|R\|_{L^2(\gamma)}^2 h_T \right)^{1/2} \right] \\
& \leq c \|e_h\|_{H^1(\Omega)} \left[\left(\sum_{T \in \mathcal{T}} \|r\|_{L^2(T)}^2 h_T^2 \right) + \left(\sum_{\gamma \in \mathcal{E}_I} \|R\|_{L^2(\gamma)}^2 h_T \right) \right]^{1/2}, \tag{1.11}
\end{aligned}$$

由

$$\|e_h\|_{H^1(\Omega)} \leq c \|e_h\|_E,$$

则知:

$$\begin{aligned}
\|e_h\|_E^2 & \leq c \left(\sum_{T \in \mathcal{T}} \|r\|_{L^2(T)}^2 h_T^2 + \sum_{\gamma \in \mathcal{E}_I} \|R\|_{L^2(\gamma)}^2 h_T \right) \\
& = \sum_{T \in \mathcal{T}} \left(h_T^2 \|r\|_{L^2(T)}^2 + \frac{1}{2} h_T \|R\|_{L^2(\partial T)}^2 \right). \tag{1.12}
\end{aligned}$$

式(1.12)中除了常数 c 都可以由数值解 u_h 直接解出.

则 H^1 型的局部误差估计子为:

$$\eta_{T,H^1}^2 = h_T^2 \|r\|_{L^2(T)}^2 + \frac{1}{2} h_T \|R\|_{L^2(\partial T)}^2. \tag{1.13}$$

误差估计子的可靠性:当 η_{T,H^1} 小时,真实误差 e_h 也小.

误差估计子的有效性:真实误差 e_h 也从局部误差估计子从下界确定.

1.3 显式 L^2 型误差估计子

考虑模型(1.2)式的对偶问题,找 $\Phi_g \in V$ 使得:

$$B(v, \Phi_g) = (g, v) \quad \forall v \in V. \tag{1.14}$$

根据 $\|u\|_{H^2} \leq C \|v\|_{L^2}$ 从而得出:

$$\|\Phi_g\|_{H^2} \leq \|g\|_{L^2}. \tag{1.15}$$

选 $g = e_h$ 代入到(1.14)式则有:

$$\|e_h\|_{L^2(\Omega)}^2 = B(e_h, \Phi_{e_h}),$$

带入到(1.8)式则有:

$$\|e_h\|_{L^2(\Omega)}^2 \leq \sum_{T \in \mathcal{T}} \|r\|_{L^2(T)} \cdot \|e_h - I_h e_h\|_{L^2(T)} + \sum_{\gamma \in \mathcal{E}_I} \|R\|_{L^2(\gamma)} \cdot \|e_h - I_h e_h\|_{L^2(\gamma)} \quad (1.16)$$

由定理1.1则知:

$$\|e_h - I_h e_h\|_{L^2(T)} \leq ch_T^2 \|e_h\|_{H^2(T)}$$

$$\|e_h - I_h e_h\|_{L^2(\gamma)} \leq ch_T^{3/2} \|e_h\|_{H^2(\gamma)}$$

代入到(1.16)式则知:

$$\begin{aligned} \|e_h\|_{L^2(\Omega)}^2 &\leq \sum_{T \in \mathcal{T}} \|r\|_{L^2(T)} \cdot ch_T^2 \|e_h\|_{H^2(T)} + \sum_{\gamma \in \mathcal{E}_I} \|R\|_{L^2(\gamma)} \cdot ch_T^{3/2} \|e_h\|_{H^2(\gamma)} \\ &\leq c \left\{ \left(\sum_{T \in \mathcal{T}} \|r\|_{L^2(T)}^2 h_T^4 \right) \cdot \left(\sum_{T \in \mathcal{T}} \|e_h\|_{H^2(T)}^2 \right) \right\}^{\frac{1}{2}} \\ &\quad + c \left\{ \left(\sum_{\gamma \in \mathcal{E}_I} \|R\|_{L^2(\gamma)}^2 h_T^3 \right) \cdot \left(\sum_{\gamma \in \mathcal{E}_I} \|e_h\|_{H^2(\gamma)}^2 \right) \right\}^{\frac{1}{2}} \\ &\leq c \left(\sum_{T \in \mathcal{T}} \|e_h\|_{H^2(T)}^2 \right)^{\frac{1}{2}} \cdot \left\{ \left(\sum_{T \in \mathcal{T}} \|r\|_{L^2(T)}^2 h_T^4 \right) + \left(\sum_{\gamma \in \mathcal{E}_I} \|R\|_{L^2(\gamma)}^2 h_T^3 \right) \right\}^{\frac{1}{2}} \\ &= c \left(\|e_h\|_{H_\Omega^2}^2 \right)^{\frac{1}{2}} \cdot \left\{ \left(\sum_{T \in \mathcal{T}} \|r\|_{L^2(T)}^2 h_T^4 \right) + \left(\sum_{\gamma \in \mathcal{E}_I} \|R\|_{L^2(\gamma)}^2 h_T^3 \right) \right\}^{\frac{1}{2}} \\ &\leq c \|e_h\|_{H_\Omega^2} \cdot \left\{ \left(\sum_{T \in \mathcal{T}} \|r\|_{L^2(T)}^2 h_T^4 \right) + \left(\sum_{\gamma \in \mathcal{E}_I} \|R\|_{L^2(\gamma)}^2 h_T^3 \right) \right\}^{\frac{1}{2}} \\ &\leq c \left\{ \left(\sum_{T \in \mathcal{T}} \|r\|_{L^2(T)}^2 h_T^4 \right) + \left(\sum_{\gamma \in \mathcal{E}_I} \|R\|_{L^2(\gamma)}^2 h_T^3 \right) \right\} \\ &\leq c \sum_{T \in \mathcal{T}} \left\{ \|R\|_{L^2}^2 h_T^3 + \|r\|_{L^2(\partial T)}^2 h_T^4 \right\} \end{aligned} \quad (1.17)$$

则 L^2 型的误差估计子为:

$$\eta_{T,H^1}^2 = \|R\|_{L^2}^2 h_T^3 + \|r\|_{L^2(\partial T)}^2 h_T^4.$$

2 网格生成和网格优化

2.1 协调的CVDT网格

考虑求解区域 $\Omega \in \mathbb{R}^d$ 是一个凸的多边形区域, $\{X_i\}_{i=1}^n \subset \Omega$ 表示特定点的集合, 相对应的泰森多边形区域为 V_i , $i = 1, \dots, n$, V_i 的定义为:

$$V_i = \{X \in \Omega \mid \|X - X_i\| < \|X - X_j\| \text{ for } j = 1, \dots, n \text{ and } j \neq i\},$$

显而我们有: $X_i \in V_i$, $V_i \cap V_j = \emptyset$ for $i \neq j$, $\bigcup_{i=1}^n \overline{V_i} = \overline{\Omega}$, 即: $\{V_i\}_{i=1}^n$ 是区域 Ω 的曲面细分.

结合点集 $\{X_i\}_{i=1}^n$ 的 $\{V_i\}_{i=1}^n$ 是区域 Ω 的泰森多边形细分.

点 $\{X_i\}$ 称为一个生成器, 子域 $V_i \subset \Omega$ 称为对应于生成器的泰森多边形区域.

总所周知: 对泰森多边形域对偶细分就是德劳奈三角形.

易证: 泰森多边形域 V_i 的顶点就是德劳奈三角单元的外接圆心.

给定一个在区域 Ω 上的密度函数 $\rho(x)$, 对 $\forall V \subset \Omega$ 定义质心 X^* :

$$X^* = \frac{\int_V y \rho(y) dy}{\int_V \rho(y) dy}.$$

定义1 CVT(Centroidal Voronoi Tessellation): 当且仅当, 作为泰森多边形区域 V_i 相对应的生成器 X_i 同时也是这个区域的质心, 即:

$$\{(X_i, V_i)\}_{i=1}^n \text{ if and only if } X_i = X_i^* \text{ for } i = 1, \dots, n,$$

相应的德劳奈三角剖分就是CVDT(Centroidal Voronoi-Delaunay triangulation)

注意: CVT/CVDT剖分是唯一的.

能量的定义: 给定 Ω 上的点 $\{\tilde{X}_i\}_{i=1}^n$ 和 Ω 上面的一些曲面细分 $\{\tilde{V}_i\}_{i=1}^n$ 我们给定能量的定义:

$$\mathcal{K} \left(\left\{ (\tilde{X}, \tilde{V}) \right\}_{i=1}^n \right) = \sum_{i=1}^n \int_{\tilde{V}_i} \rho(y) \|y - \tilde{X}_i\|^2 dy.$$

可以证明: $\left\{ (\tilde{X}_i, \tilde{V}_i) \right\}_{i=1}^n$ 是CVT时, 能量 \mathcal{K} 是最小的.

CVT的重要性质: 能量 \mathcal{K} 以渐进的方式在泰森多边形区域 V_i 上均匀分布.

在一维的情况下:

$$\mathcal{K}_{V_i} \approx \mathcal{K} / n \text{ for } i = 1, 2, \dots, n,$$

其中 $\mathcal{K}_{V_i} = \int_{V_i} \rho(x) \|X - X_i\|^2 dx$ 和 $\mathcal{K} = \sum_{i=1}^n \mathcal{K}_{V_i}$.

这种性质在高维的情况下目前仅仅只是一个假设, 但有效性已经通过大量的数值研究得到了验证.

CVT重要的几何性质:

对于一个常值密度函数, 生成器 $\{X_i\}_{i=1}^n$ 是均匀分布的; 泰森多边形区域 $\{V_i\}_{i=1}^n$ 几乎是等尺寸的. 在二维的情况下, 其中大部分(几乎)是全等的凸六面体.

对于一个非常值密度函数, 生成器 $\{X_i\}_{i=1}^n$ 是渐进局部均匀分布的, 对于一些常数 c

$$\mathcal{K}_{V_i} = c \rho(X_i) h_{V_i}^{d+2}, \quad \frac{h_{V_i}}{h_{V_j}} = \left(\frac{\rho(X_j)}{\rho(X_i)} \right)^{\frac{1}{d+2}},$$

其中, h_{V_i} : V_i 的直径; d : Ω 的直径. 注: $\{(X_i, V_i)\}_{i=1}^n$ 的能量 \mathcal{K} 随着每次迭代减少.

Algorithm 1 (Lloyd's method for CVT) 给定一个区域 Ω , 定义在 Ω 上的密度函数 $\rho(x)$, 一个正整数 n

0. 在 Ω 中选定 n 个初始点 $\{X_i\}_{i=1}^n$.

1. 结合 $\{X_i\}_{i=1}^n$ 产生区域 Ω 上的泰森多边形区域 $\{V_i\}_{i=1}^n$.

2. 确定泰森多边形域 $\{V_i\}_{i=1}^n$ 上的质心, 这些质心产生新的点集 $\{X_i\}_{i=1}^n$.

3. 如果这些点满足一些收敛标准, 返回 $\{(X_i, V_i)\}_{i=1}^n$ 并且终止, 否则转 step 1.

记号:

- $P_S = \{Z_i\}_{i=1}^k$: 求解区域的角顶点

- $P_I = \{X_i | \bar{V}_i \cap \partial\Omega = \emptyset\}$: 内部点的集合
- $P_B = \{X_i | \bar{V}_i \cap \partial\Omega \neq \emptyset\}$: 边界点的集合
- $Proj(X)$: 表示将点 X 投影到离 X 最近边界上的点.

定义2 一个 Ω 上的泰森多边形区域细分 $\{(X_i, V_i)\}_{i=1}^n$ 被称为一致重心的泰森多边形细分(CfCVT)当且仅当下面的性质被满足:

- $P_S \subset \{X_i\}_{i=1}^n$,
- $X_i = X_i^*$ for $X_i \in P_I$,
- $X_i = Proj(X_i^*)$ for $X_i \in P_B - P_S$,

相应的对偶剖分为(CfCVDT).

Algorithm 2 constructing a CfCVT/CfCVDT

0. 在 Ω 中选 n 个初始点 $\{X_i\}_{i=1}^n$.
 1. 结合 $\{X_i\}_{i=1}^n$ 产生区域 Ω 上的泰森多边形区域 $\{V_i\}_{i=1}^n$.
 2. 确定泰森多边形 $\{V_i\}_{i=1}^n$ 上的质心, 这些质心产生新的点集 $\{X_i\}_{i=1}^n$.
 3. 除非边界泰森多边形区域包含 P_B 中的一点, 否则就把边界泰森多边形区域的质心投影到边界上, 这个点就是新的生成器.
 4. 如果这些点满足一些收敛标准, 返回 $\{(X_i, V_i)\}_{i=1}^n$ 并且终止, 否则转step1.
-

2.2 近似CfCVD构造

- CDTs: 受限的德劳奈三角剖分
- CDT过程产生初始的三角剖分 $\mathcal{T}_0 = \{T_i\}_{i=1}^m$
- $P_S = \{Z\}_{i=1}^k$: 区域角顶点
- $P = \{X_i\}_{i=1}^n$: \mathcal{T} 的顶点的集合
- P_B : 边界点的集合
- P_I : 内部点的集合
- \bar{X}_i : 在泰森多边形区域 U_i 上符合密度函数 $\rho(x)$ 的质心

CDT过程保证: $P_S \subset P_B$.

定义3 对于每一个三角单元 $T_i = (X_{i1}, X_{i2}, X_{i3}) \in \mathcal{T}_0$ 定义:

$$X_{T_i} = \begin{cases} \text{circumcenter of } T_i & \text{if } T_i \text{ is an acute triangle} \\ \text{the middle point of the longest edge of } T_i & \text{otherwise} \end{cases} \quad (2.18)$$

很明显有 $X_{T_i} \in \bar{T}_i$

内部点. 当 X_i 是内部点的时候定义 U_i (泰森多边形区域):

$$U_i = \text{the polygon formed by } \left\{ X_{T_{i_k}} \right\}_{k=1}^m;$$

- $\{\alpha_{i_k}\}_{k=1}^{m_i}$: 围绕点 X_i 相应 $\{T_{i_k}\}_{k=1}^{m_i}$ 的角度;

$$\alpha = \begin{cases} \max \{ \alpha_{i_k} | \bar{T}_{i_k} \cap \partial\Omega \neq \emptyset \} & \text{if } \bar{T}_{i_k} \cap \partial\Omega \neq \emptyset \text{ for some } i_k \\ 0 & \text{otherwise;} \end{cases} \quad (2.19)$$

- 令 e_i 表示与角度 α_{i_k} 相对应的边界边缘,使得: $\alpha_{i_k} = \alpha$;

选择参数 $\theta_{\max}(\pi) > \theta_{\max} > \pi/2$, 定义:

$$y_i = \begin{cases} \bar{X}_i & \text{if } \alpha < \theta_{\max} \\ \text{Proj}_{e_i} X_i & \text{otherwise;} \end{cases} \quad (2.20)$$

其中 $\text{Proj}_{e_i} X_i$ 表示将 X_i 投影到边界边 e_i 上, 显而易见当 $\alpha < \theta_{\max}$ 时 y_i 都是内部点. 边界点. 当 X_i 是边界点的时候,

- 令 e_1 和 e_2 表示具有 X_i 作为公共端点的两个边界边缘;
- 泰森多边形区域 U_i 定义为:

$$U_i = \text{the polygon formed by } Z_1, \left\{ X_{T_{i_k}} \right\}_{k=1}^{m_i}, Z_2;$$

- 如果 $X_i \in P_B - P_S$, 定义 β_1 和 β_2 分别是对应边 e_1 和 e_2 的角度;
- $\beta = \max(\beta_1, \beta_2)$;
- 当参数 $\theta_{\min}(\pi/3 > \theta_{\min} > 0)$, 定义:

$$y_i = \begin{cases} X_i & \text{if } X_i \in P_S \\ \text{Proj}_{\overline{Z_1 Z_2}} X_i & \text{if } X_i \in P_B - P_S \text{ and } \beta > \theta_{\min} \\ \bar{X}_i & \text{if } X_i \in P_B - P_S \text{ and } \beta \leq \theta_{\min}, \end{cases} \quad (2.21)$$

其中 $\text{Proj}_{\overline{Z_1 Z_2}} X_i$ 表示将 X_i 投影到 $\overline{Z_1 Z_2}$ 上;

Algorithm 3 modified Lloyd method for approximate CfCVDT

给定一个求解域 Ω , 在 Ω 上定义密度函数 $\rho(x)$, 以及使用 CDT 在求解域 Ω 上生成具有顶点 $\{X_i\}_{i=1}^n$ 的初始三角剖分 \mathcal{T}_0 .

1. 根据 (2.16) 和 (2.17) 从 $\{X_i\}_{i=1}^n$ 确定 $\{y_i\}_{i=1}^n$.
 2. 集合 $\{X_i\}_{i=1}^n = \{y_i\}_{i=1}^n$, 从新的 $\{X_i\}_{i=1}^n$ 重建边界段 ε_B .
 3. 把 $\{X_i\}_{i=1}^n$ 作为顶点和 ε_B 作为边界边, 使用 CDT 对区域 Ω 重新进行三角剖分.
 4. 如果三角剖分 \mathcal{T} 满足一些收敛标准, 返回 \mathcal{T} 并且终止, 否则转 step 1.
-

注:

- 为了防止一些顶点频繁的在边界和内部之间跳动, 需要更复杂的控制, 为了简单起见省略了上述算法的一些细节.
- 取 $\theta_{\max} = 5\pi/9$ 和 $\theta_{\min} = \pi/6$.